

УДК 539.37

**ОБ ИЗМЕНЯЮЩИХСЯ МЕХАНИЗМАХ ПРОИЗВОДСТВА
БОЛЬШИХ НЕОБРАТИМЫХ ДЕФОРМАЦИЙ В УСЛОВИЯХ
ПРЯМОЛИНЕЙНОГО ДВИЖЕНИЯ В ЦИЛИНДРИЧЕСКОМ СЛОЕ**

© 2020 г. Л. В. Ковтанюк^{a,*}, Г.Л. Панченко^a

^aИнститут автоматики и процессов управления ДВО РАН, Владивосток, Россия

*e-mail: lk@iacp.dvo.ru

Поступила в редакцию 15.07.2019 г.

После доработки 10.08.2019 г.

Принята к публикации 04.09.2019 г.

В рамках теории больших деформаций получено решение задачи о деформировании материала с нелинейными упругими, пластическими и вязкими свойствами, находящегося в зазоре между двумя жесткими коаксиальными цилиндрическими поверхностями. Внешняя поверхность остается неподвижной, а внутренняя прямолинейно движется с переменной скоростью. При равноускоренном движении поверхности первоначально необратимые деформации накапливаются за счет вязких свойств материала в качестве деформаций ползучести, а при выходе напряженного состояния на поверхность нагружения рассмотрено возникновение и развитие области вязкопластического течения. Исследовано дальнейшее развитие течения при постоянной скорости и его торможение при равнозамедленном движении поверхности до полной остановки. Рассчитаны параметры напряженно-деформированного состояния среды, исследована релаксация напряжений после полной остановки цилиндра.

Ключевые слова: большие деформации, ползучесть, упругость, вязкость, пластичность, релаксация напряжений

DOI: 10.31857/S0572329920020099

1. Введение. Исследование посвящено изучению процессов интенсивного деформирования материалов, когда накапливаемые ими необратимые деформации могут быть как деформациями ползучести, так и пластичности. Примером такого технологического процесса может служить холодная формовка [1], когда необратимые деформации накапливаются за счет медленного процесса ползучести, однако, это не исключает возникновение локальных областей пластического течения обычно в местах контакта деформируемого материала с оснасткой. Наличие таких областей приводит к значительному перераспределению полей напряжений и, следовательно, влияет на процесс ползучести. Таким образом, при моделировании таких процессов необходимо использовать теорию ползучести при одновременном учете возможностей возникновения и развития зон пластического течения. Учет же упругих деформаций позволяет при этом рассчитывать упругий отклик при разгрузке, в том числе остаточные напряжения и их релаксацию после полной разгрузки.

Учитывая, что в большинстве технологических процессов приобретаемые материалы деформации, как правило, большие, соответствующая модель должна быть моделью больших деформаций материалов с упругими, пластическими и вязкими свойствами.

Математических моделей больших упругопластических деформаций предложено достаточно много [2–13]. Здесь будем использовать математическую модель, в которой обратимые и необратимые деформации определяются дифференциальными уравнениями изменения [9, 12]. Обобщение модели на случай, когда большие необратимые деформации последовательно накапливаются сначала в условиях ползучести и потом пластического течения проведено недавно [14, 15]. Предложено разделять накапливаемые в материале необратимые деформации на деформации ползучести и пластического течения механизмом их производства. Таким образом, уравнение изменения необратимых деформаций является одним и тем же и для деформаций ползучести, и пластичности, различие заключается только в задании источника необратимых деформаций. Для деформаций ползучести источником являются скорости деформаций ползучести, а для пластических деформаций – скорости пластических деформаций. На упругопластических границах изменяется механизм накопления необратимых деформаций с вязкого на пластический и наоборот. Непрерывность в таком росте необратимых деформаций обеспечивается соответствующим заданием потенциалов ползучести и пластичности.

Первые решения краевых задач, учитывающих последовательное накопление необратимых деформаций ползучести и пластичности в рамках модели больших упруговязкопластических деформаций, получены в [15, 16], без учета вязкости при пластическом течении подобный подход в случае малых деформаций применялся в [17]. Здесь с использованием модели больших деформаций с последовательным изменением в механизме накопления необратимых деформаций приведем решение краевой задачи об антиплоском деформировании цилиндрического слоя в условиях ползучести с последующим пластическим течением.

2. Основные модельные соотношения. В прямоугольной системе пространственных декартовых координат Эйлера x_i кинематика среды задается соотношениями [12]

$$\begin{aligned}
 d_{ij} &= \frac{1}{2}(u_{i,j} + u_{j,i} - u_{k,i}u_{k,j}) = e_{ij} + p_{ij} - \frac{1}{2}e_{ik}e_{kj} - e_{ik}p_{kj} - p_{ik}e_{kj} + e_{ik}p_{km}e_{mj} \\
 \frac{De_{ij}}{Dt} &= \varepsilon_{ij} - \gamma_{ij} - \frac{1}{2}((\varepsilon_{ik} - \gamma_{ik} + z_{ik})e_{kj} + e_{ik}(\varepsilon_{kj} - \gamma_{kj} - z_{kj})) \\
 \frac{Dp_{ij}}{Dt} &= \gamma_{ij} - p_{ik}\gamma_{kj} - \gamma_{ik}p_{kj}, \quad \frac{Dn_{ij}}{Dt} = \frac{dn_{ij}}{dt} - r_{ik}n_{kj} + n_{ij}r_{kj} \\
 \varepsilon_{ij} &= \frac{1}{2}(v_{i,j} + v_{j,i}), \quad v_i = \frac{du_i}{dt} = \frac{\partial u_i}{\partial t} + u_{i,j}v_j, \quad u_{i,j} = \frac{\partial u_i}{\partial x_j} \\
 r_{ij} &= w_{ij} + z_{ij}(\varepsilon_{sk}, e_{sk}), \quad w_{ij} = \frac{1}{2}(v_{i,j} - v_{j,i}) \\
 z_{ij} &= A_1^{-1}((\varepsilon_{ik}e_{kj} - e_{ik}\varepsilon_{kj})A_2^2 + (\varepsilon_{ik}e_{ks}e_{sj} - e_{ik}e_{ks}\varepsilon_{sj})A_2 + e_{ik}\varepsilon_{ks}e_{st}e_{tj} - e_{ik}e_{ks}\varepsilon_{st}e_{tj}) \\
 A_1 &= 8 - 8E_1 + 3E_1^2 - E_2 - \frac{1}{3}E_1^3 + \frac{1}{3}E_3, \quad A_2 = 2 - E_1 \\
 E_1 &= e_{kk}, \quad E_2 = e_{ij}e_{ji}, \quad E_3 = e_{ij}e_{jk}e_{ki}
 \end{aligned} \tag{2.1}$$

Здесь u_i , v_i – компоненты векторов перемещений и скорости точек среды; d_{ij} – компоненты тензора деформаций Альманси; e_{ij} и p_{ij} – их обратимая и необратимая составляющие; D/Dt – оператор используемой объективной производной тензоров по времени, которая записана для произвольного тензора n_{ij} ; r_{ij} – компоненты тензора вращений. Источники γ_{ij} и $\varepsilon_{ij}^e = \varepsilon_{ij} - \gamma_{ij}$ в уравнениях изменения обратимых и необратимых деформаций – скорости их накопления. При $\gamma_{ij} = 0$ компоненты тензора необ-

ратимых деформаций изменяются так же, как и при повороте системы координат или, как при движении среды без деформирования, т.е. $Dp_{ij}/Dt = 0$. Тензор вращений r_{ij} отличается от классического тензора вихря скорости w_{ij} наличием нелинейной части z_{ij} . Отметим, что при равенстве нулю составляющей z_{ij} тензора вращений r_{ij} производная в (2.1) переходит в производную Яумана.

Как и в работах [9, 12] полагаем, что используемый термодинамический потенциал (плотность распределения свободной энергии ψ) является изотропной функцией только обратимых деформаций. Тогда согласно закону сохранения энергии напряжения в среде полностью определяются обратимыми деформациями и связаны с ними формулой, аналогичной формуле Мурнагана в нелинейной теории упругости [18, 19]. Для несжимаемой среды данное соотношение примет вид

$$\sigma_{ij} = -p\delta_{ij} + \frac{\partial W}{\partial e_{ik}}(\delta_{kj} - e_{kj}) \quad (2.2)$$

В соотношении (2.2) σ_{ij} – компоненты тензора напряжений Эйлера–Коши, p – неизвестная функция добавочного гидростатического давления. Для упругого потенциала $W = \rho_0\psi$ (ρ_0 – плотность) принимаем его разложение в ряд Маклорена относительно свободного состояния

$$\begin{aligned} W &= -2\mu I_1 - \mu I_2 + bI_1^2 + (b - \mu) I_1 I_2 - \chi I_1^3 + \dots \\ I_1 &= e_{kk} - \frac{1}{2}e_{ks}e_{sk}, \quad I_2 = e_{ks}e_{sk} - e_{ks}e_{sl}e_{lk} + \frac{1}{4}e_{ks}e_{sl}e_{lm}e_{nk} \end{aligned} \quad (2.3)$$

Здесь μ – модуль сдвига; b, χ – постоянные материала.

Диссипативный механизм необратимого деформирования связан с реологическими и пластическими свойствами материала. Будем считать далее, что необратимые деформации накапливаются с начала процесса деформирования и первоначально связаны с процессом ползучести материала.

В областях, где напряженное состояние еще не достигло поверхности текучести, или, где пластическое течение было, но прекратилось, соответствующий диссипативный механизм деформирования зададим в форме степенного закона ползучести Норттона [20], в котором полагаем скорости необратимых деформаций γ_{ij} равными скоростям деформаций ползучести ϵ_{ij}^v

$$V(\sigma_{ij}) = B\Sigma^n(\sigma_1, \sigma_2, \sigma_3), \quad \Sigma = \max|\sigma_i - \sigma_j|, \quad \gamma_{ij} = \epsilon_{ij}^v = \frac{\partial V(\Sigma)}{\partial \sigma_{ij}} \quad (2.4)$$

В зависимостях (2.4) $V(\sigma_{ij})$ – термодинамический потенциал; $\sigma_1, \sigma_2, \sigma_3$ – главные значения тензора напряжений; B, n – параметры ползучести материала.

С течением времени напряженное состояние достигает поверхности текучести, диссипативный механизм деформирования меняется и в материале начинается пластическое течение. В таком случае в области пластического течения полагаем $\gamma_{ij} = \epsilon_{ij}^p$. Без разделения необратимых деформаций на составляющие будем считать, что накопленные к моменту начала пластического течения необратимые деформации ползучести (2.4) являются начальными значениями для накапливающихся далее в области течения пластических деформаций. В случае учета вязких свойств среды при пластическом течении также требуется совпадение скоростей необратимых деформаций при изменении механизма деформирования с вязкого на пластический.

Согласно принципу максимума Мизеса связь скоростей пластических деформаций ε_{ij}^p с напряжениями устанавливается ассоциированным законом пластического течения

$$\alpha_{ij} = \lambda \frac{\partial F}{\partial \sigma_{ij}}, \quad F(\sigma_{ij}, \alpha_{ij}) = k, \quad \lambda > 0, \quad \alpha_{ij} = \varepsilon_{ij}^p - \varepsilon_{ij}^{v_0}$$

где $\varepsilon_{ij}^{v_0}$ — компоненты тензора скоростей деформаций ползучести в момент начала пластического течения.

В качестве пластического потенциала будем использовать условие текучести Треска, обобщенное на случай учета вязких свойств материала

$$\max |\sigma_i - \sigma_j| = 2k + 2\eta \max |\alpha_n| \quad (2.5)$$

в котором α_n — главные значения тензора α_{ij} , k — предел текучести, η — коэффициент вязкости.

3. Постановка и решение задачи до вязкопластического течения. Пусть слой несжимаемого материала расположен в зазоре между двумя жесткими коаксиальными цилиндрическими поверхностями радиусов r_0 и R ($r_0 < R$). Рассмотрим процесс деформирования слоя при прямолинейном движении внутренней поверхности и неподвижности внешней поверхности. Считаем, что на цилиндрических стенках выполняются условия прилипания. Тогда в цилиндрической системе координат r, φ, z граничные условия задачи примут вид

$$v|_{r=R} = 0, \quad u|_{r=R} = 0, \quad v|_{r=r_0} = v_0, \quad u|_{r=r_0} = u_0 = \int_0^t v_0 dt, \quad \sigma_{rr}|_{r=R} = a_0 \quad (3.1)$$

Здесь $v = v_z(r, t)$, $u = u_z(r, t)$ — единственные отличные от нуля компоненты векторов скорости и перемещения соответственно, $v_0 = v_0(t)$, a_0 — задаваемые функция и постоянная. Из соотношений (2.1) в данном случае установим, что кинематика среды описывается зависимостями

$$d_{rr} = -\frac{1}{2} \left(\frac{\partial u}{\partial r} \right)^2, \quad d_{rz} = \frac{1}{2} \frac{\partial u}{\partial r}, \quad \varepsilon_{rz} = -w_{rz} = \frac{1}{2} \frac{\partial v}{\partial r}, \quad r_{rz} = \frac{2\varepsilon_{rz}(1 - e_{zz})}{e_{rr} + e_{zz} - 2} \quad (3.2)$$

В задачах данного класса диагональные компоненты тензоров деформаций являются малыми более высокого порядка по сравнению с недиагональными компонентами [21–24], поэтому в дальнейшем ограничимся слагаемыми первого порядка по диагональным компонентам и второго — по недиагональным. Принятое ограничение не является принципиальным для решения задачи и вводится с целью значительного упрощения вычислений. Из соотношений (2.2) и (2.3) в рассматриваемом случае найдем напряжения в среде

$$\begin{aligned} \sigma_{rr} &= -(p + 2\mu) + 2(b + \mu)e_{rr} + 2be_{zz} + \mu e_{rz}^2 = -P + 2\mu e_{rr} \\ \sigma_{\varphi\varphi} &= -(p + 2\mu) + 2b(e_{rr} + e_{zz}) - 2\mu e_{rz}^2 = -P - 3\mu e_{rz}^2 \\ \sigma_{zz} &= -(p + 2\mu) + 2(b + \mu)e_{zz} + 2be_{rr} + \mu e_{rz}^2 = -P + 2\mu e_{zz} \\ \sigma_{rz} &= 2\mu e_{rz}, \quad \frac{\sigma_{rr} - \sigma_{zz}}{\sigma_{rz}} = \frac{e_{rr} - e_{zz}}{e_{rz}} \end{aligned} \quad (3.3)$$

В рамках квазистатического приближения запишем уравнения равновесия для рассматриваемого случая

$$\frac{\partial \sigma_{rr}}{\partial r} + \frac{\partial \sigma_{rz}}{\partial z} + \frac{\sigma_{rr} - \sigma_{\varphi\varphi}}{r} = 0, \quad \frac{\partial \sigma_{rz}}{\partial r} + \frac{\partial \sigma_{zz}}{\partial z} + \frac{\sigma_{rz}}{r} = 0 \quad (3.4)$$

Проинтегрируем уравнения (3.4) в предположении, что напряжения конечны, т.е. $\partial P / \partial z = 0$:

$$\sigma_{rz} = \frac{c(t)}{r}, \quad e_{rz} = \frac{c(t)}{2\mu r}, \quad P = f(r, t) \quad (3.5)$$

Для компонент тензоров деформаций и скоростей деформаций из (2.1) справедливы соотношения

$$\begin{aligned} d_{rz} &= e_{rz} + p_{rz}, & \varepsilon_{rz} &= \frac{\partial e_{rz}}{\partial t} + \frac{\partial p_{rz}}{\partial t} = \varepsilon_{rz}^e + \gamma_{rz} \\ \frac{\partial p_{zz}}{\partial t} &= -\gamma_{rz} \frac{p_{zz} - e_{rz}^2}{e_{rz}} + \frac{4\varepsilon_{rz} p_{rz}}{2 + e_{rz}^2} \left(1 + p_{zz} - \frac{1}{2} e_{rz}^2 - 2e_{rz} p_{rz} \right) \\ e_{rr} &= p_{zz} - \frac{3}{2} e_{rz}^2 - 2e_{rz} p_{rz}, & p_{rr} + p_{zz} &= -2p_{rz}^2, & e_{rr} + e_{zz} &= -e_{rz}^2 \end{aligned} \quad (3.6)$$

Считаем, что при увеличении скорости движения внутреннего цилиндра необратимые деформации первоначально накапливаются за счет медленного процесса ползучести.

Потенциал $V(\sigma_{ij})$ в соотношении (2.4) в цилиндрической системе координат принимает форму

$$V(\sigma_{ij}) = B(4\sigma_{rz}^2 + (\sigma_{rr} - \sigma_{zz})^2)^{n/2}$$

В данном потенциале ограничимся слагаемыми до порядка n по напряжениям вследствие замечания, описанного перед зависимостями (3.3). Тогда для скоростей деформаций ползучести и компоненты p_{rz} из формул (2.4), (3.3), (3.5) и (3.6) получим соотношения

$$\begin{aligned} \varepsilon_{rz}^v &= f_1(c^{n-1}, r), & \varepsilon_{rr}^v &= -\varepsilon_{zz}^v = \frac{\varepsilon_{rz}^v e_{rr} - e_{zz}^v}{2 e_{rz}^v}, & f_1(c^{n-1}, r) &= (-1)^n 2^{n-1} B n \frac{c^{n-1}}{r^{n-1}} \\ p_{rz} &= f_1(c_1, r), & c_1(t) &= \int_0^t c^{n-1} dt, & c &= (\dot{c}_1)_{n-1} \end{aligned} \quad (3.7)$$

Из зависимостей (3.2), (3.5)–(3.7) и условия прилипания (3.1) на поверхности $r = R$ следуют соотношения для скорости и перемещения

$$\begin{aligned} v &= f_2(\dot{c}, r, R) + f_3(c^{n-1}, r, R), & u &= f_2(c, r, R) + f_3(c_1, r, R) \\ f_2(c, r, R) &= \frac{c}{\mu} \ln \frac{r}{R}, & f_3(c_1, r, R) &= \frac{(-1)^n 2^n B n c_1}{2 - n} \left(\frac{1}{r^{n-2}} - \frac{1}{R^{n-2}} \right) \end{aligned} \quad (3.8)$$

Здесь и далее точка сверху означает производную по времени.

С учетом граничных условий (3.1) на внутренней стенке $r = r_0$ из (3.8) получим обыкновенное дифференциальное уравнение для неизвестной функции $c_1(t)$

$$\dot{c}_1 = f_2^{1-n}(1, r_0, R)(u_0 + f_3(c_1, r_0, R))^{n-1}, \quad c_1(0) = 0 \quad (3.9)$$

Дифференциальное уравнение (3.9) и система (3.6) решаются численно в пакете Wolfram Mathematica. Компонента напряжений σ_{rr} находится из первого уравнения

равновесия (3.4) с использованием краевого условия из (3.1). Далее из соотношений (3.3) определяются добавочное гидростатическое давление P и компоненты тензора напряжений $\sigma_{\varphi\varphi}$ и σ_{zz} .

При возрастающей скорости движения внутреннего цилиндра v_0 полученное решение задачи будет справедливым до некоторого момента времени $t = t_0$, при котором в окрестности внутренней стенки $r = r_0$ выполнится условие пластичности (2.5), в нашем случае принимающее вид $\sigma_{rz}|_{r=r_0} = -k$. Из первого соотношения (3.5) получим уравнение для определения момента времени $t = t_0$, в который начнется вязкопластическое течение: $c(t_0) = -kr_0$.

4. Вязкопластическое течение. Развивающаяся с момента времени $t = t_0$ область вязкопластического течения $r_0 \leq r \leq m(t)$ ограничена поверхностями $r = r_0$ и $r = m(t)$. В области $m(t) \leq r \leq R$ по-прежнему происходит вязкоупругое деформирование, то есть поверхность $r = m(t)$ является движущейся границей области вязкопластического течения.

В области $m(t) \leq r \leq R$ интегрированием уравнений равновесия (3.4) в условиях прилипания (3.1) на поверхности $r = R$ установим, что продолжают выполняться зависимости (3.5) с неизвестной функцией интегрирования $c(t)$. Также в этой области остаются верными соотношения (3.7) и (3.8).

Интегрируя уравнения равновесия в области вязкопластического течения $r_0 \leq r \leq m(t)$ и используя условие непрерывности компонент напряжений на упруго-пластической границе $r = m(t)$, получим, что в этой области также выполняются зависимости (3.5).

Пластический потенциал (2.5) в нашем случае запишется в следующей форме

$$\sigma_{rz} = -k + \eta(\varepsilon_{rz}^p - \varepsilon_{rz}^{v_0}), \quad \varepsilon_{rz}^{v_0} = -2^{n-1}k^{n-1}Bn \quad (4.1)$$

Из соотношения (4.1) определим скорость пластических деформаций

$$\varepsilon_{rz}^p = \frac{1}{\eta} \left(\frac{c(t)}{r} + k \right) - 2^{n-1}k^{n-1}Bn \quad (4.2)$$

Из условия совпадения скоростей необратимых деформаций на упругопластической границе $r = m(t)$ из (4.2) найдем

$$c(t) = -km(t)$$

Из зависимостей (3.2), (3.5), (3.7), (4.2) и граничного условия для скорости на поверхности $r = r_0$ (3.1), найдем скорость в области вязкопластического течения

$$v = f_2(\dot{c}, r, r_0) + f_4(c, r, r_0) + v_0$$

$$f_4(c, r, r_0) = \frac{2}{\eta} \left(c(t) \ln \frac{r}{r_0} + k(r - r_0) \right) - 2^n k^{n-1} Bn (r - r_0) \quad (4.3)$$

Положение упругопластической границы $r = m(t)$ в каждый момент времени задается обыкновенным дифференциальным уравнением, следующим из (3.8), (4.3) и условия непрерывности скоростей точек среды на этой границе

$$f_2(-k\dot{m}, r_0, R) + f_3((-km)^{n-1}, m, R) - f_4(-km, m, r_0) = v_0 \quad (4.4)$$

В области вязкоупругого деформирования $m(t) \leq r \leq R$ для необратимых и обратимых деформаций остаются справедливыми уравнения (3.6).

Интегрируя скорость пластических деформаций ε_{rz}^p (4.2) по времени с учетом (3.5) и (3.7), найдем компоненту необратимых деформаций p_{rz} в области течения $r_0 \leq r \leq m(t)$

$$p_{rz} = f_5(t, r) + g(r), \quad f_5(t, r) = \frac{1}{\eta} \left(\frac{c_2(t)}{r} + kt \right) - (2k)^{n-1} Bnt, \quad c_2(t) = \int_{t_0}^t c(t) dt \quad (4.5)$$

Здесь $g(r)$ – неизвестная функция интегрирования, которую найдем из условия непрерывности необратимых деформаций (3.7) и (4.5) на продвигающейся упругопластической границе:

$$g(r) = f_1(c_1(\zeta), r) - f_5(\zeta, r)$$

в которой функция $\zeta = \zeta(r)$ определяется из обыкновенного дифференциального уравнения

$$\zeta'(f_3((-kr)^{n-1}, r, R) - f_4(-kr, r, r_0) - v_0(\zeta)) = f_2(k, r_0, R), \quad \zeta(r_0) = t_0 \quad (4.6)$$

Для компонент обратимых и необратимых деформаций в области вязкопластического течения $r_0 \leq r \leq m(t)$ справедлива система (3.6).

Учитывая соотношения (3.2), (3.5), (3.6), (4.5) и условие непрерывности перемещений на упругопластической границе $r = m(t)$, найдем выражение для перемещений в области вязкопластического течения

$$u = f_2(c, r, R) + f_3(c_1, m, R) + tf_4(t^{-1}c_2, r, m) + 2 \int_m^r g(r) dr$$

При движении внутреннего цилиндра с постоянной скоростью с момента времени $t = t_1 > t_0$ область вязкопластического течения продолжает развиваться согласно закону (4.4). Полученное выше решение остается верным как в области $r_0 \leq r \leq m(t)$, так и в области $m(t) \leq r \leq R$. Изменение в краевом условии приведет только к изменению функции $\zeta(r)$: в области $m(t_1) \leq r \leq m(t)$ она теперь определяется из дифференциального уравнения

$$\zeta'(f_3((-kr)^{n-1}, r, R) - f_4(-kr, r, r_0) - v_0(t_1)) = f_2(k, r_0, R), \quad \zeta(m(t_1)) = t_1 \quad (4.7)$$

в то время как в области $r_0 \leq r \leq m(t_1)$ по-прежнему является решением уравнения (4.6)

5. Торможение вязкопластического течения и разгрузка среды. Не приводит к существенным изменениям в процессе деформирования и первоначальное уменьшение скорости движения внутренней поверхности, начиная с момента времени $t = t_2 > t_1$. В отличие от случая, когда цилиндр движется с постоянной скоростью, функция $\zeta(r)$ в области $r_0 \leq r \leq m(t_1)$ находится из уравнения (4.6), в области $m(t_1) \leq r \leq m(t_2)$ – из (4.7), а в области $m(t_2) \leq r \leq m(t)$ снова из (4.6) с граничным условием $\zeta(m(t_2)) = t_2$.

В расчетный момент времени $t = t_3 > t_2$ рост области вязкопластического течения прекращается. Появляется новая граница $r = m(t)$, движущаяся от стационарной поверхности $r = m(t_3)$ к внутренней поверхности $r = r_0$ и отделяющая уменьшающуюся область течения $r_0 \leq r \leq m(t)$ от области разгрузки $m(t) \leq r \leq m(t_3)$, в которой, как и в области $m(t_3) \leq r \leq R$, теперь накапливаются необратимые деформации ползучести.

В области вязкоупругого деформирования $m(t_3) \leq r \leq R$ и в области течения $r_0 \leq r \leq m(t)$ остаются верными соотношения, справедливые в интервале времени $t_2 \leq t \leq t_3$.

В области $m(t) \leq r \leq m(t_3)$ для компонент напряжений и скоростей необратимых деформаций выполняются соотношения (3.5) и (3.6).

Из (3.2), (3.5), (3.7) и условия непрерывности скорости на упругопластической границе $r = m(t_3)$ установим, что в области $m(t) \leq r \leq m(t_3)$ скорость вычисляется из первой зависимости (3.8).

Из условия непрерывности скоростей на упругопластической границе $r = m(t)$ получим уравнение ее изменения вида (4.4).

Интегрируя зависимость (3.7) по времени в области разгрузки $m(t) \leq r \leq m(t_3)$, получим соотношение для компоненты необратимых деформаций в этой области

$$p_{rz} = f_1(c_1, r) + g_1(r) \quad (5.1)$$

В выражении (5.1) неизвестную функцию интегрирования $g_1(r)$ найдем из условия непрерывности необратимых деформаций на упругопластической границе $r = m(t)$

$$g_1(r) = f_1(c_1(\zeta), r) + f_5(\zeta, r) + g(r) \quad (5.2)$$

Здесь функция $\zeta = \zeta(r)$ удовлетворяет обыкновенному дифференциальному уравнению (4.6) с начальным условием $\zeta(m(t_3)) = t_3$.

Интегрируя второе уравнение (3.2) в области $m(t) \leq r \leq m(t_3)$ с учетом соотношений (3.5), (3.6), (5.1) и условия непрерывности перемещений на границе $r = m(t_3)$, найдем компоненту перемещений

$$u = f_2(c, r, R) + f_3(c_1, r, R) + 2 \int_{m(t_3)}^r g_1(r) dr \quad (5.3)$$

В области $r_0 \leq r \leq m(t)$ из второго уравнения (3.2) с учетом (3.5), (3.6), (4.5) и условия непрерывности перемещений на границе $r = m(t)$ найдем

$$u = f_2(c, r, R) + f_3(c_1, m, R) + tf_4(t^{-1}c_2, r, m) + 2 \int_m^r g(r) dr + 2 \int_{m(t_3)}^m g_1(r) dr \quad (5.4)$$

В момент времени $t = t_4 > t_3$ внутренний цилиндр остановится ($v_0(t_4) = 0$). Скорость в области вязкопластического течения $r_0 \leq r \leq m(t)$ будет вычисляться зависимостью

$$v = f_2(\dot{c}, r, r_0) + f_4(c, r, r_0)$$

Уравнение для вычисления положения упругопластической границы $r = m(t)$ примет форму

$$f_2(-k\dot{m}, r_0, R) + f_3((-km)^{n-1}, m, R) - f_4(-km, m, r_0) = 0$$

В области $m(t_3) \leq r \leq R$ компонента необратимых деформаций вычисляется из (4.5), в области $m(t) \leq r \leq m(t_3)$ – из (5.1). Функция $g_1(r)$ имеет вид (5.2), в котором $\zeta = \zeta(r)$ в области $m(t_k) \leq r \leq m(t_3)$ находится из уравнения (4.6) с начальным условием $\zeta(m(t_2)) = t_2$, а в области $m(t) \leq r \leq m(t_k)$ вычисляется из уравнения

$$\zeta'(f_2((-kr)^{n-1}, r, R) - f_4(-kr, r, r_0)) = f_1(k, r_0, R), \quad \zeta(m(t_4)) = t_4$$

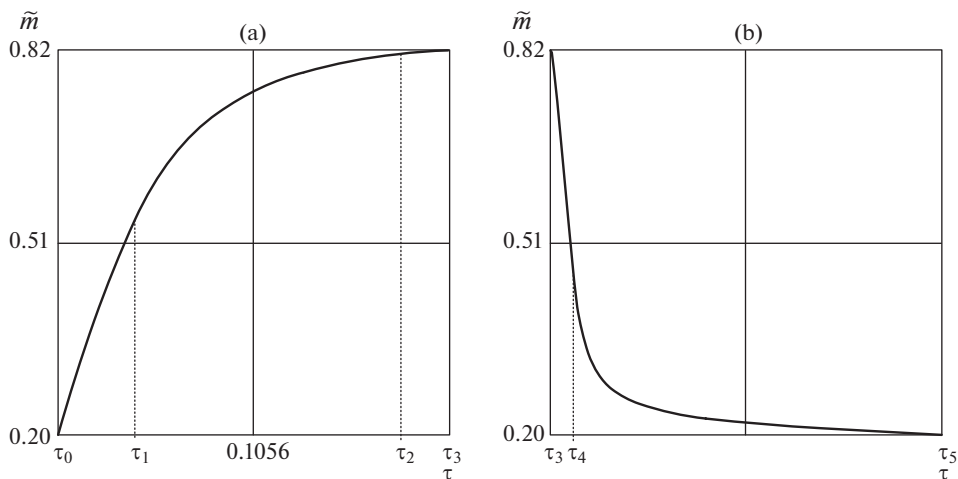


Рис. 1

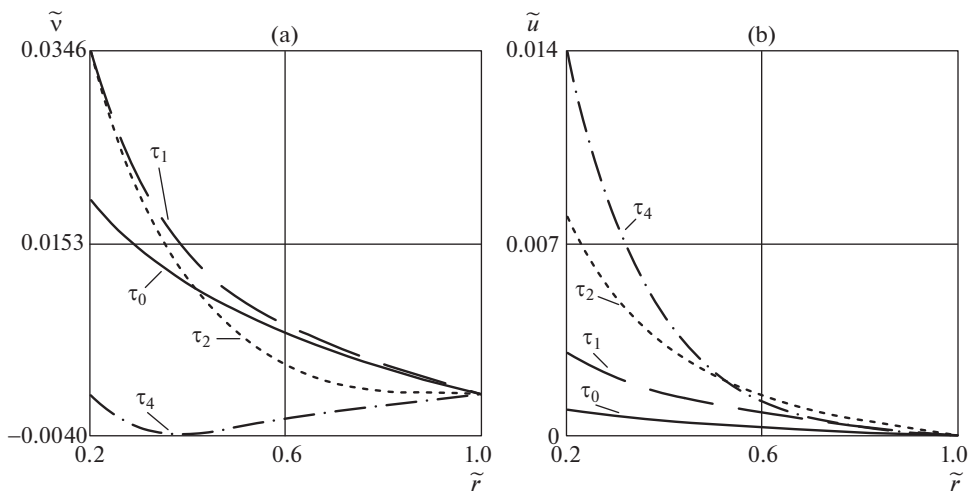


Рис. 2

Для перемещений в областях $m(t) \leq r \leq m(t_3)$ и $r_0 \leq r \leq m(t)$ продолжают выполняться зависимости (5.3) и (5.4).

В некоторый момент времени $t = t_5$ упругопластическая граница $r = m(t)$ совпадет с внутренней поверхностью $r = r_0$ и вязкопластическое течение в цилиндрическом слое прекратится. Для скорости во всем слое будет выполняться первое соотношение (3.8), в котором функция $c(t)$ примет вид

$$c(t) = \left(\ln \frac{r_0}{R} \left(R^{n-2} \ln \frac{r_0}{R} + 2^n Bnk^{n-2} \mu (r_0^{n-2} - R^{n-2}) (t - t_4) \right)^{-1} \right)^{\frac{1}{n-2}}$$

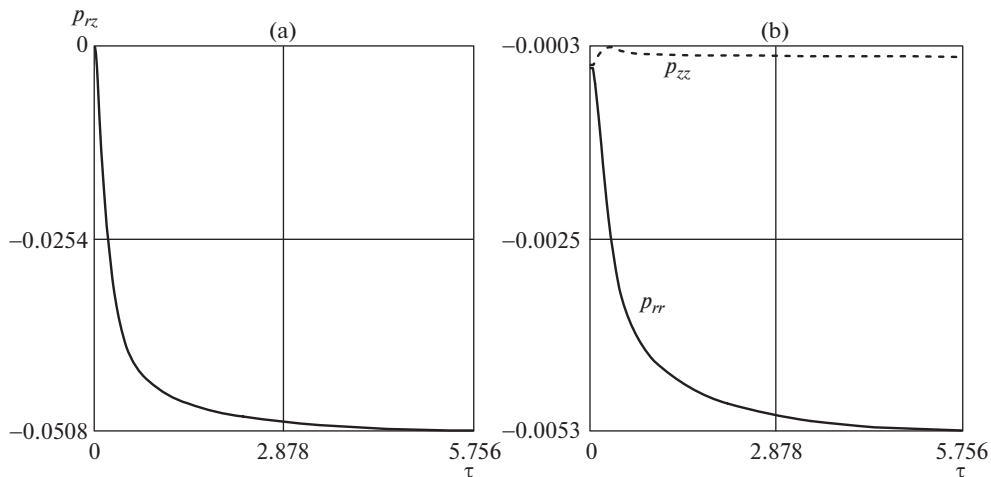


Рис. 3

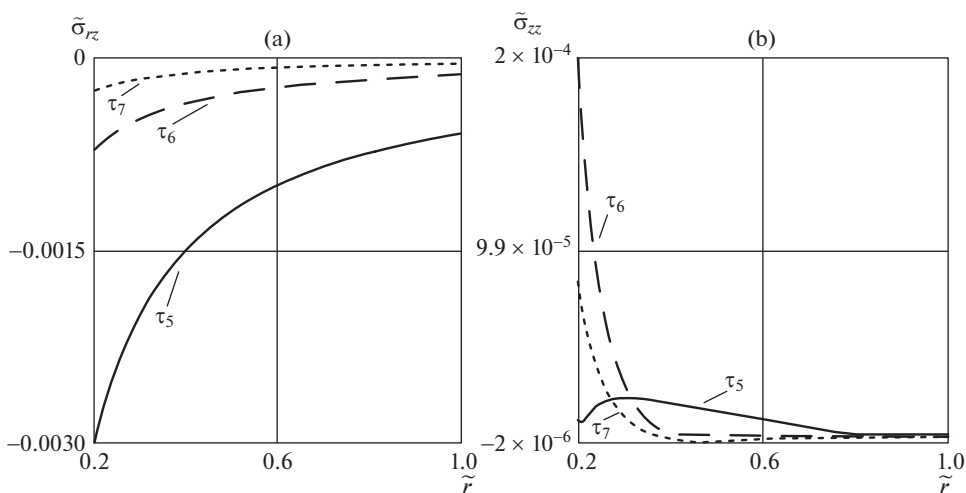


Рис. 4

Перемещения в областях $m(t_3) \leq r \leq R$ и $r_0 \leq r \leq m(t_3)$ вычисляются соотношениями (3.8) и (5.3) соответственно.

Функция v_0 при расчетах была выбрана следующим образом:

$$v_0 = \begin{cases} \xi_1 t, & 0 \leq t \leq t_1 \\ \xi_1 t_1, & t_1 \leq t \leq t_2 \\ \xi_1 t_1 - \xi_2 (t - t_2), & t_2 \leq t \leq t_4 \\ 0, & t \geq t_4 \end{cases}$$

Расчеты проводились в безразмерных переменных $\tilde{r} = r/R$, $\tau = \xi_1 t^2 / r_0$ при следующих значениях постоянных параметров $k/\mu = 0.003$, $r_0/R = 0.2$, $n = 3$, $B\mu^2 \sqrt{r_0/\xi_1} = 3$,

$\xi_2/\xi_1 = 0.5$, $(\mu/\eta)\sqrt{r_0/\xi_1} = 10$, $a_0 = 10^{-6}$. График упругопластической границы $\tilde{m} = m/R$ в интервале от $\tau_0 = 0.0097$ до $\tau_3 = 0.1121$ представлен на рис. 1а, в интервале от τ_3 до $\tau_5 = 5.756$ – на рис. 1б. Отметим, что $\tau_1 = 0.03$, $\tau_2 = 0.1$, $\tau_4 = 0.4391$. Распределения скоростей и перемещений точек среды по слою в разные моменты времени показаны на рис. 2а и рис. 2б соответственно. Рисунок 3 иллюстрирует изменение необратимых деформаций в точках внутренней поверхности $r = r_0$ в интервале $0 \leq \tau \leq \tau_5$. Релаксация компонент напряжений σ_{rz} и наибольшего из диагональных σ_{zz} показана на рис. 4а и рис. 4б соответственно ($\tau_6 = 1000$, $\tau_7 = 10000$).

6. Заключение. Построено решение задачи о деформировании материала цилиндрического слоя, происходящем при прямолинейном равноускоренном движении внутреннего цилиндра, его последующем движении с постоянной скоростью и равнозамедленном движении до полной остановки, в то время как внешний цилиндр остается неподвижным. В условиях жесткого сцепления материала с граничными стенками рассмотрен случай, когда накапливаемые необратимые деформации являются и деформациями ползучести, и пластичности. Исследовано продвижение упругопластической границы, разделяющей области с разными действующими законами накопления необратимых деформаций, рассчитаны параметры напряженно-деформированного состояния среды, проведено наблюдение за релаксацией напряжений, происходящей после остановки цилиндра.

Работа выполнена при финансовой поддержке РФФИ (18-01-00038).

СПИСОК ЛИТЕРАТУРЫ

1. Олейников А.И., Пекариш А.И. Интегрированное проектирование процессов изготовления монолитных панелей. М.: Эком, 2009. 109 с.
2. Lee E.H. Elastic-plastic deformation at finite strains // Trans ASME. Sr. E. J. Appl. Mech. 1969. V. 36. I. 1. P. 1–6.
3. Кондауров В.И. Об уравнениях упруговязкопластической среды с конечными деформациями // ПМТФ. 1982. № 4. С. 133–139.
4. Nemat-Nasser S. On finite deformation elasto-plasticity // Int. J. Solids and struct. 1982. V. 18. I. 10. P. 857–872.
5. Левитас В.И. Большие упругопластические деформации материалов при высоком давлении. Киев.: Наук. думка, 1987. 232 с.
6. Быковцев Г.А., Шитиков А.В. Конечные деформации упругопластических сред // Докл. АН. 1990. Т. 311. № 1. С. 59–62.
7. Xia Z., Ellyin F. A finite elastoplastic constitutive formulation with new co-rotational stress-rate and strain-hardening rule // Trans. ASME: J. Appl. Mech. 1995. V. 62. I. 3. P. 733–739.
8. Мясников В.П. Уравнения движения упругопластических материалов при больших деформациях // Вестн. ДВО РАН. 1996. № 4. С. 8–13.
9. Буренин А.А., Быковцев Г.И., Ковтанюк Л.В. Об одной простой модели для упругопластической среды при конечных деформациях // Докл. АН. 1996. Т. 347. № 2. С. 199–201.
10. Чернышов А.Д. Определяющие уравнения для упругопластического тела при конечных деформациях // Изв. РАН. МТТ. 2000. № 1. С. 120–128.
11. Роговой А.А. Определяющие соотношения для конечных упруго-неупругих деформаций // ПМТФ. 2005. Т. 46. № 5. С. 138–149.
12. Буренин А.А., Ковтанюк Л.В. Большие необратимые деформации и упругое последствие. Владивосток: Дальнаука, 2013. 312 с.
13. Shutov A.V., Ihlemann J. Analysis of some basic approaches to finite strain elasto-plasticity in view of reference change // Internat. J. Plasticity. 2014. V. 63. P. 183–197.

14. *Белых С.В., Бормотин К.С., Буренин А.А., Ковтанюк Л.В., Прокудин А.Н.* О больших изотермических деформациях материалов с упругими, вязкими и пластическими свойствами // Вестн. ЧГПУ им. И. Я. Яковлева. Сер. Механика предельного состояния. 2014. Т. 22. № 4. С. 145–157.
15. *Бегун А.С., Буренин А.А., Ковтанюк Л.В.* Большие необратимые деформации в условиях изменяющихся механизмов их производства и проблема задания пластических потенциалов // Докл. АН. 2016. Т. 470. № 3. С. 275–278.
16. *Бегун А.С., Ковтанюк Л.В., Лемза А.О.* Смена механизмов накопления необратимых деформаций материалов на примере их вискозиметрического деформирования // Изв. РАН. Механика твердого тела. 2018. № 1. С. 103–112.
17. *Буренин А.А., Галимзянова К.Н., Ковтанюк Л.В., Панченко Г.Л.* О согласовании механизмов роста необратимых деформаций полого шара при всестороннем сжатии // Докл. АН. 2018. Т. 482. № 4. С. 403–406.
18. *Лурье А.И.* Нелинейная теория упругости. М.: Наука, 1980. 512 с.
19. *Годунов С.К., Роменский Е.А.* Элементы механики сплошных сред и законы сохранения. Новосибирск: Науч. книга, 1998. 280 с.
20. *Norton F.H.* The creep steel of high temperature. Y.: Mc Graw Hill, 1929. 110 p.
21. *Ковтанюк Л.В.* О продавливании упруговязкопластического материала через жесткую круговую цилиндрическую матрицу // Докл. АН. 2005. Т. 400. № 6. С. 764–767.
22. *Буренин А.А., Ковтанюк Л.В.* Развитие и торможение течения упруговязкопластической среды в цилиндрической трубе // Прикл. математика и механика. 2013. Т. 77. Вып. 5. С. 788–798.
23. *Буренин А.А., Ковтанюк Л.В., Панченко Г.Л.* Неизотермическое движение упруговязкопластической среды в трубе в условиях изменяющегося перепада давления // Докл. АН. 2015. Т. 464. № 3. С. 284–287.
24. *Буренин А.А., Ковтанюк Л.В., Панченко Г.Л.* Деформирование и разогрев упруговязкопластического цилиндрического слоя при его движении за счет изменяющегося перепада давления // Изв. РАН. МТТ. 2018. № 1. С. 6–18.